

第二屆和平利用原子能國際會議文獻

反應堆材料及冶金學

2

中国科学院原子核科学委员会編輯委員會編輯

科学出版社出版

科学出版社出版 (北京朝阳门大街 117 号)

北京市书刊出版业营业登记证字第 061 号

中国科学院印刷厂印刷 新华书店总经售

*

1961 年 6 月第一版

书号：2361 字数：113,000

1961 年 6 月第一次印刷

开本：787×1092 1/16

(京) 0001—4,500

印张：4 1/4 插页：4

定价：0.64 元

目 录

- P/2230 鈾、鈷及其合金的某些物理性質.....(1)
P/2193 UO_2 — Al_2O_3 , UO_2 — BeO , UO_2 — MgO 二元状态图.....(15)
P/2055 在常溫与增高溫度条件下含鉬和錫的二元与三元鎔合金的机械性能.....(25)
P/2044 鎔及其合金的高温力学性质及在水, 蒸汽及气体中之抗腐蝕性.....(33)
P/2052 在中子照射的作用下金属結構材料机械性能 的 变化.....(64)

鈾、鉸及其合金的某些物理性質*

C. T. 葛那培也夫斯基 (Колобеевский)
A. C. 柴衣莫夫斯基 (Займовский)
B. M. 李維脫斯基 (Левитский)
Ю. Н. 索吉爾斯基 (Сокурский)
Н. Т. 契鮑他列夫 (Чеботарев)
Ю. В. 鮑勃可夫 (Бобков)
П. П. 叶果羅夫 (Егоров)
Р. Н. 尼古拉也夫 (Николаев)
А. А. 伊万諾夫 (Иванов)

前　　言

隨着核子工业的发展，出現了一些新的材料可以作为核燃料，但在大多数的情况下，这些材料的物理性质还不知道。

反应堆的释热元件工作于剧烈的放热情况下，并受到热应力、周期变化的温度以及射线等作用。因此，必須要了解制造释热元件的材料之主要物理性质。

在研究释热元件的芯棒过程中得到了大量关于鈾、鉸及其合金的資料。这个报告中将提及其中某些部分。

I. 金屬鉸的某些物理性質

有关鉸的物理性质的研究已有許多著作，已发表的資料收集在文献[1,2]中。本報告是講述有关鉸物理性质的某些补充內容。

a. 相变热

关于鉸的变化热，除了 $\alpha-\beta$ 的变化外，在文献中未有記載，曾經研究了鉸在相变时所需的潜热，这种研究是在微型真空量热器中进行的，这些研究結果列在表 1 中。

表 1 鉸在相轉变时的热和溫度

相的轉变	$\alpha-\beta$	$\beta-\gamma$	$\gamma-\delta$	$\delta-\eta$	$\eta-\epsilon$	ϵ —液体
轉变溫度 °C	122	211	315	440	460	635
轉变时所需潜热 卡/克	3.2 ± 0.5	0.7 ± 0.1	0.8 ± 0.1	~ 0.0	1.6 ± 0.3	3.3 ± 0.5

在表中列出的 $\alpha-\beta$ 轉变时的数据(精确到含有实验誤差)与文献[1]中的相符。

6. 鉸的弹性

* 第二届和平利用原子能国际会议文献，A/CONF/15/P/2230，苏联，原文：俄文。

钚的弹性是在室温下用共振方法测定。楊氏模数 E 和剪切模数 G 是用 230°C 时制的 α 钚试样来测定的，得到下列的弹性常数：

$$E = 9.1 \times 10^3 \text{ 公斤/厘米}^2; \quad G = 3.8 \times 10^3 \text{ 公斤/厘米}^2,$$

用这些数据算出的泊松比 $\mu = 0.21$ 。

II. 钚与铀合金的磁特性

金属钚和铀的磁化率曾经多次加以研究（例如，参阅文献 [3, 4, 5]），然而对含有其他元素的合金磁化率研究得很少，由于这样，于是就对含有钚、铀与其他元素之间的化合物磁化率进行了研究。一般的测定磁化率方法是把试样设置于不同的磁场中，按其上所受的作用力来求得。合金系中某些研究结果将在下面讲到。

钚与钴、镍及锰之间的化合物的磁化率列于表 2 中*，而磁化率的浓度关系表示在图 1 中，正如从这个图中所看到的，含有大量镍和钴化合物的原子磁化率很大，并且随着化合物中钚含量的增加而显著地减少。这种变化可以用钴与镍本身由于磁矩消失来解释，而这种磁矩的消失是由于金属钚的电子进入钴或镍的 $3-d$ 电子壳层而引起的。在镍-铜、镍-锌、镍-铝等固溶体中^[6]以及在镍-铀系^[7]中这些类似的规律性早已发现。为了消除钴的磁矩需要比镍更多一些的钚原子，这一点与钴有较大的第三层电子壳层未填满程度相符合，并且还意味着，这一系列金属化合物中的钚以一定量的电子数给予 $3-d$ 壳。当化合物引入适量的钚时，磁化率的增加是与钚的磁矩影响有关。钚与钴、镍、锰的化合物磁化率的倒数 $1/x_g$ 与温度的关系表示在图 2 中。这些化合物的磁化率受温度的影响较小，显然与原子之间发生了强烈的相互转变有关：

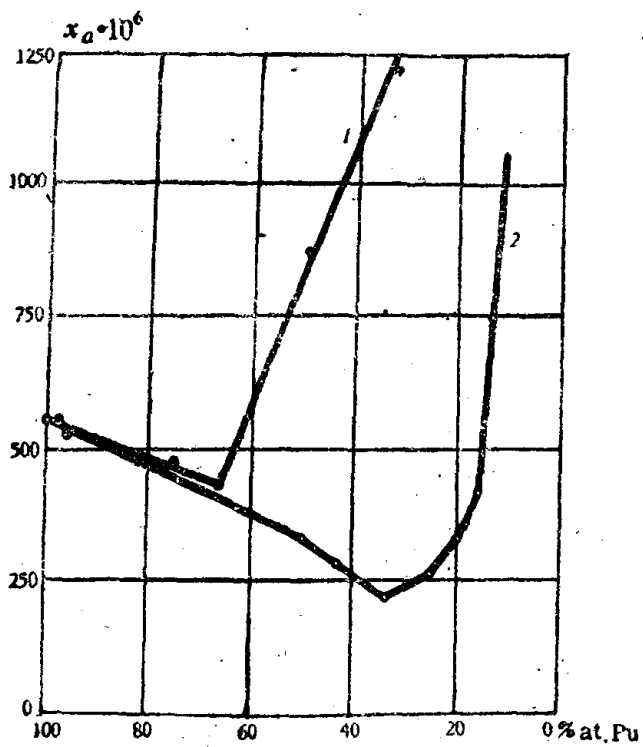


图 1 在室温下含钴(1)和镍(2)的钚合金的顺磁磁化率

* 为了便于比较，在表 2 中所列出的钚顺磁性的磁化率是取 20°C 时的数值。Ni 是取 500°C 时的数值，也就是高于居里温度。

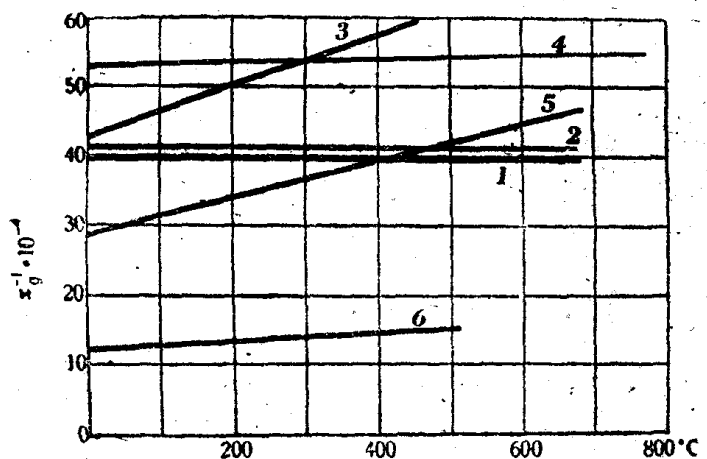


图 2 某种钚化合物顺磁磁化率与温度的关系
 1—Pu₃Co; 2—Pu₂Co; 3—PuNi; 4—PuNi₃; 5—PuNi₄; 6—PuMn₃

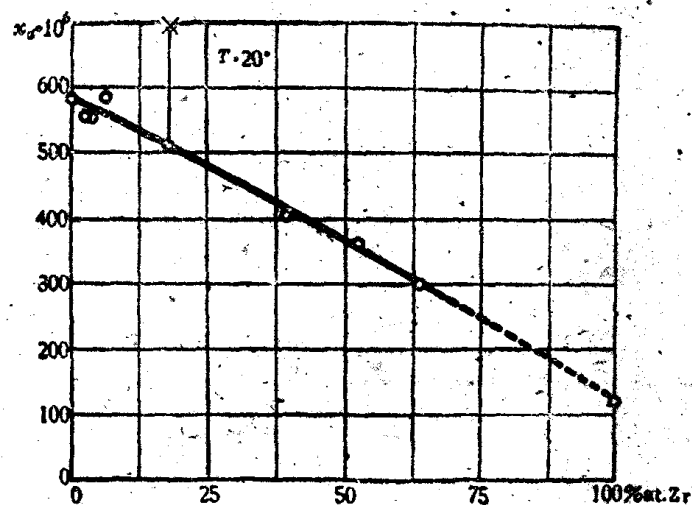


图 3 含锆的钚合金之顺磁磁化率：
 ○—带结构的合金; Δ—δ相; ×—化合物 Pu₆Zr

在图 3 中，指出了钚-锆合金的磁化率与合金中锆的浓度的关系，钚-锆合金在 δ-相时的磁化率与锆的浓度成正比地减少。Pu₆-Zr 金属化合物的磁化率比在 δ-相对具有相同成份的化合物大 1.4 倍。

钚与锆、镍、锰的金属化合物的磁化率列于表 3 中。钚与锆化合物的磁化率在所研究的温度范围内很好地遵守居里-凡沙定律。

这些化合物的磁化率数值、居里常数和按照这些常数算出的磁矩列在表 4 中。显然所得到的磁矩数值指出在这些金属化合物中的钚是四价。

在表 5 中列出了说明化合物 UBe₁₃ 和 PuBe₁₃ 的磁化率数据。这些化合物和磁化率也遵守居里-凡沙定律。但带有说明所谓分子场特征的一个不大的常数 θ (70—80 K)。这一化合物的这种温度与磁化率关系，看来与 PuBe₁₃ 和 UBe₁₃ 的晶格内钚和钚原子相互之间距离的量有关，因此它们之间的相互作用不得不减弱。

对钚与铁的化合物进行研究证明了 PuFe₂ 这种化合物是铁磁性物质。PuFe₂ 的磁性与温度的关系如图 4 所示。从图上可知这种化合物的居里温度等于 360°C，也得证了

表 2 鈷与钴、镍、锰的化合物的順磁磁化率

序号	化合物	結构	在 20°C 时順磁磁化率	
			宏观的磁化率 $x_g \cdot 10^6$ 电磁单位, 克 $^{-1}$	^{*)} 原子的磁化率 $x_a \cdot 10^6$ 电磁单位, 克原子 $^{-1}$
1	Pu (α)	菱型	2.1	570
2	Pu ₆ Co	O. II. 四边型, U ₆ Mn 型	2.3	490
3	Pu ₈ Co	—	2.5	480
4	Pu ₂ Co	六边型, Fe ₂ P 型	2.4	430
5	Pu Co ₂	Г. II. K., MgCu ₂ 型	10.5	1250
6	Pu Ni	—	2.4	490
7	Pu Ni ₂	Г. II. K., MgCu ₂ 型	1.9	220
8	Pu Ni ₃	—	2.7	280
9	Pu Ni ₄	—	3.6	350
10	Pu Ni ₅	六边型	4.8	430
11	Pu ₂ Ni ₁₇	六边型, Th ₂ Ni ₁₇ 型	15.4 ^{**})	1200
12	Ni (500°)	Г. II. K.	45	2620
13	Pu Mn ₂	Г. II. K., MgCu ₂ 型	7.8	930

^{*)} 每一克原子的平均磁化率 x_a , 按公式 $x_a = x_g(\alpha A + \beta B)$ 計算。这里括弧中用平均原子量代入。^{**)} 類似組成 δ-相的磁化率按合金 PuNi₅ + Pu₂Ni₁₇ 磁化率来确定。

表 3 钪与钴、镍、锰的化合物的順磁磁化率

序号	化合物	結构	在 20°C 时順磁磁化率	
			宏观的磁化率 $x_g \cdot 10^6$ 电磁单位克 $^{-1}$	原子的磁化率 $x_a \cdot 10^6$ 电磁单位 克-原子 $^{-1}$
1	U (α)	菱型	1.72	410
2	U ₆ Co	O. II. 四边型, U ₆ Mn 型	~2 ^{*)}	~420
3	U Co	O. II. K.	2.3	320
4	U Co ₂	Г. II. K., Cu ₂ Mg 型	3.2	380
5	U ₆ Ni	O. II. 四边型, U ₆ Mn 型	~2	~420
6	U ₇ Ni ₉	—	2.2	310
7	U Ni ₂	六边型, MgZn ₂ 型	2.6	340
8	U ₆ Mn	O. II. 四边型	~2 ^{*)}	~420
9	U Mn ₂	Г. II. K., Cu ₂ Mg 型	~6 ^{**})	~700

^{*)} 采用 Кауфман 和 Гордон 的数据^[8]。^{**)} 测定的是 U₆Mn + UMn₂ 合金的磁化率。

PuFe₂ 的磁化曲綫。图 5 表示的就是其中的一条, 該化合物的饱和磁化強度为 1200 高斯/莫尔。

PuFe₂ 和 UFe₂ 是共晶的, 有趣的在于这两种化合物都是鐵磁性物质。Кауфман 和 Гордон 闡明了 UFe₂ 的鐵磁性(見参考文献 [8])。本文作者同样也研究过这种化合物

表 4 鈾鋁金屬間的化合物的順磁磁化率

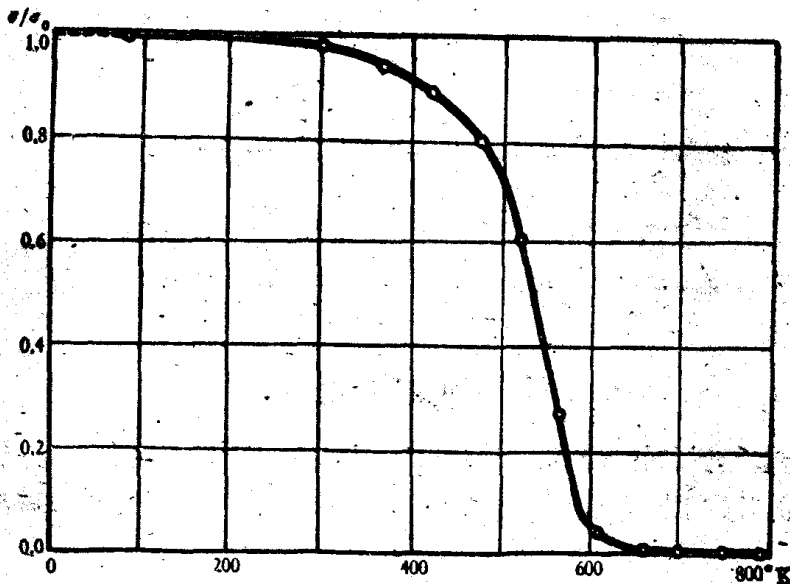
化合物	結構	溫度 20° 時順磁磁化率		進行研究的 溫度間隔°C	磁化率的溫度關係	鈾磁矩 [*] μ_g	鈾價
		宏觀磁化率 $x_g \cdot 10^6$ 電磁單位 克 ⁻¹	原子磁化率 $x_a \cdot 10^6$ 電磁單位 克-原子 ⁻¹				
UAl ₂	Γ. Η. K. 型 $a = 7.811 \text{ \AA}$ Cu_2Mg	8.43	2460	20—800	$x_g \cdot 10^6 = \frac{3820}{T+160}$	3.0	IV
UA ₃	立方型 $a = 4.827 \text{ \AA}$ Au Cu_3	4.85	1540	20—800	$x_g \cdot 10^6 = \frac{4580}{T+700}$	3.5	IV
UA ₄	菱型 $a = 4.41 \text{ \AA}$ $b = 6.27 \text{ \AA}$ $c = 13.71 \text{ \AA}$	6.14	2120	20—650	$x_g \cdot 10^6 = \frac{3760}{T+320}$	3.2	IV

* 所求出之鈾磁矩数据不考虑 U 及 Al 离子抗磁性的修正值。

表 5

化合物	宏觀磁化率 20°, $x_g \cdot 10^{16}$ 電磁單位克 ⁻¹	磁化率的溫度關係	鈾和鉸的磁矩 μ_B
UBe ₁₃	12.0	$x_g \cdot 10^6 = \frac{4350}{T+70}$	3.5
PuBe ₁₃	2.4 ^{*)}	$x_g \cdot 10^6 = \frac{900}{T+80}$	1.7

^{*)} PuBe₁₃ 的順磁磁化率的數值可用含有少量鐵磁性混合物的樣品獲得。但應除去由於混合物的影響所產生的相應的誤差。

图 4 化合物 PuFe₂ 磁化强度与温度的关系

的磁性。

該化合物(UFe₂)的居里溫度是-80°C，也作出了磁化曲線，其中有一條已表示在圖 6 上。

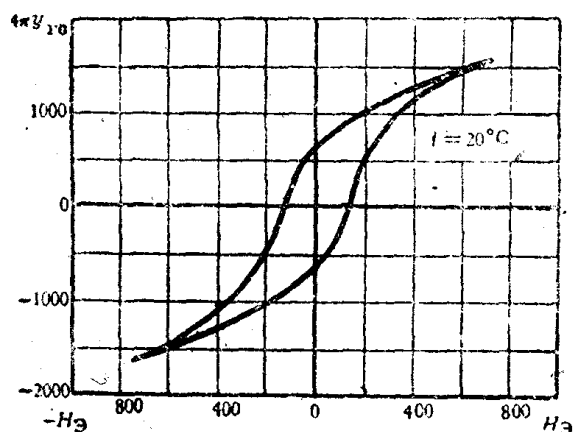


图 5 化合物 PuFe_3 的磁滞曲綫

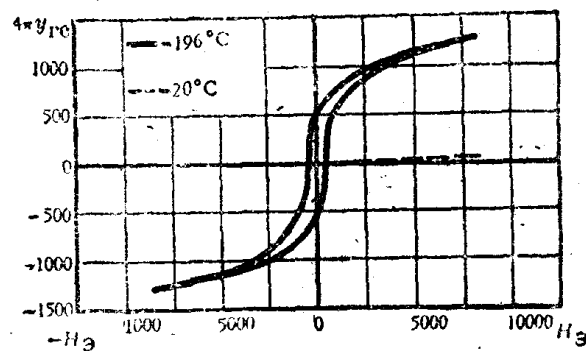


图 6 UFe_3 化合物的磁滞曲綫

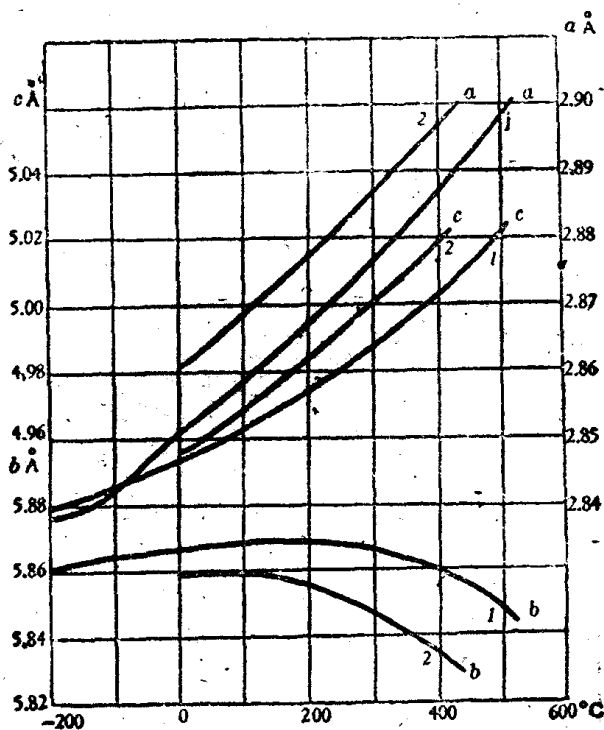


图 7. α -鈾和 α -相鈾合金(含 15% at. 鈷)的晶格軸向間距与溫度的关系。
1— α 鈾; 2— α 相鈾合金(含 15% at. 鈷)

III. 金屬鈾的某些物理性質

对金屬鈾的物理性質曾作过很詳細的研究,研究工作有許多已发表了,关于这方面的評論也有很多(見参考文献[9,10])在本報告中只闡述鈾性質的某些新的資料。

a. 热膨胀

关于 α -鈾的热膨胀系数除已发表的許多資料以外(参考文献 [9,11]) 还有关于鈾与
鈷的 α 相合金的热膨胀的資料。

图 7 和表 6 是 α -鈾与鈾鈷 α 相合金(其中鈷按原子数之比为 15%)研究結果的比較。在 α -鈾的晶格中溶入鈷原子后,就会引起下列的軸向間距的变化,溫度增加时将使軸向間距 a 和 c 增加,而使軸向間距 b 減小。晶格中的鈷原子增多,同样使得 α 相的热膨胀的各

表 6 α -鈾及 α -相鈾銣合金(銣原子数为15%)的热膨胀平均系数

	温度間隔°C	$\alpha_a \times 10^6$	$\alpha_b \times 10^6$	$\alpha_c \times 10^6$
α -U	20—300	28.8 ± 1	-0.4 ± 1	23.5 ± 1
	20—500	32.9 ± 1	-6.3 ± 1	27.6 ± 1
α -相鈾銣合金, 銣原子数15%	20—300	30 ± 4	-8 ± 4	29 ± 4
	20—400	32 ± 4	-12 ± 4	32 ± 4

相异性增加, 沿軸向 b 負的热膨胀系数 α_b 按其絕對值增大。

对图7的曲綫进行研究后, 利用最小平方法就可以得出当温度区间为 0—500°C 时 α -鈾晶格間距的公式:

$$a = 2.8522(1 + 21.7 \times 10^{-6}T + 2.2 \times 10^{-8}T^2);$$

$$b = 5.8650(1 + 8.5 \times 10^{-6}T - 2.8 \times 10^{-8}T^2);$$

$$c = 4.9536(1 + 16.7 \times 10^{-6}T + 2.1 \times 10^{-8}T^2);$$

对于鈾銣合金(含銣原子量15%)得到如下的公式:

$$a = 2.861(1 + 26.2 \times 10^{-6}T + 1.4 \times 10^{-8}T^2);$$

$$b = 5.859(1 + 1.9 \times 10^{-6}T - 3.0 \times 10^{-8}T^2);$$

$$c = 4.956(1 + 25.2 \times 10^{-6}T + 1.6 \times 10^{-8}T^2),$$

式中 a, b, c 为 α 相晶格間距, 以 Å 为单位, T 为温度°C。

在研究 α -鈾的热膨胀系数时, 曾經发现, 当温度增高时, α 鈾的某些衍射綫的強度之比有所改变。

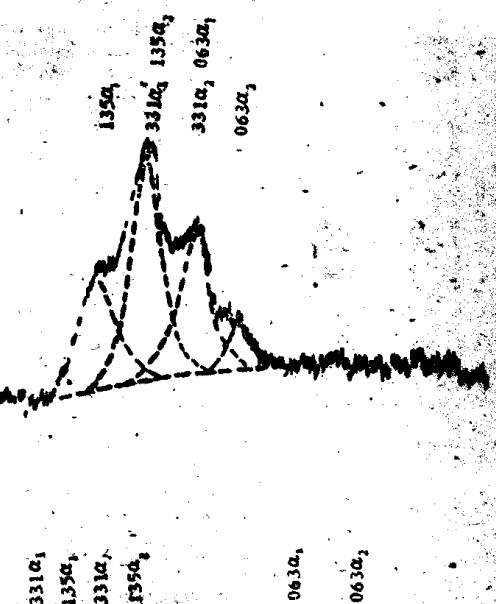


图 8 显微照象仪曲綫, 表示 α -鈾加热在 20—500° ($1—20^\circ$, $2—500^\circ$) 时繞射綫(063)和綫(135)和(331)的强度变化关系

图 8 为显微照象仪曲线组，这些曲线取自 α -铀伦琴底片（底片是在 20° 和 500° 温度下借助鎳辐射摄制的）。各个最大值面积（用虚线划的）的比较和测量是考虑在 135 和 331 线强度应当经常相等，这样就证明了线 063 的强度是按 135 和 331 线强度的比例而增长的。

在计算了所有影响强度的因素之后，看出强度的变化，与结构因素的变化有关，在 α -铀中(12)结构因素按下式求得：

$$F = 4f \sin 2\pi k y \quad (\text{当 } k \text{ 为奇数时}); \quad F = 4f \cos 2\pi k y \quad (\text{当 } k \text{ 为偶数时}),$$

式中 f — 原子比 (атомный фактор)。

结构因素的变化仅仅是因 α -铀栅格的内参数 y 变化所引起的。

计算的过程说明了温度由 20° 上升到 500°C 时 α -铀的内参数 y (внутренний параметр y) 由 $y = 0.107 \pm 0.003$ 增长到 $y = 0.115 \pm 0.003$ (500°C 时)。

α -铀晶格可以看作为畸形的六角形晶格，它主要向 b 轴方向伸延(图 9)。 α -铀的 b/a 比等于 2.056，这样就比六角形晶格的正菱形轴线比值大 16%，间隔层的原子(原子 II 和 IV 见图 9)在所处的紧密的六角晶格中同样也有位移(这位置见图 9 中用 P 点表示的)。

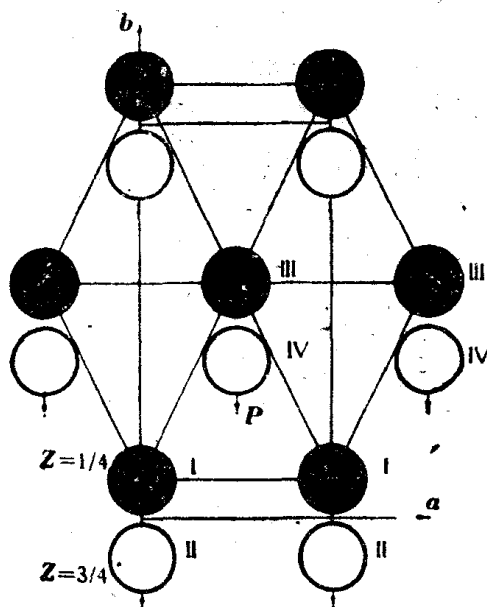


图 9 α -铀晶格在(001)平面上的投影

沿轴向 b 间距的缩短和随温度升高引起的内参数的增长，使 α -铀晶格结构同紧密的六角形晶格结构更加相似，并且减弱 α -铀晶格中原子之间的距离的差异。特别有益的就是 α -铀晶格间距的变化会引起游离原子在其中的消失(растворение)，如钚(见上述)和钼(见下章)即为如此。可见温度的提高，或是在 α -铀的晶格中引入游离的原子，都能减弱形成共价键的趋势，同时铀晶格的结构更近乎对称。

6. 弹性模量和铀的内摩擦

用谐振法测定弹性模数。试样是用 γ 相退火的铀研磨成，在经过机械加工后，试样在 γ 相中退火，以消除剩余的应力，其中之一的 α -铀试样其标准弹性模量与温度的变化关系，表示于图 10。

在图 10 上也表示了铀的内摩擦与温度的关系。内摩擦是根据频率为 $800 \sim 1180$

茲的横向振动的衰減時間来测定的。图 10 中內摩擦最大值的产生是因为发生了相变。內摩擦超过 350，显然与颗粒边缘的属性有关，这些数据符合于在 300—350° 下用显微鏡觀察的颗粒本身变形到晶界变形的过程，同时也符合高于这一温度时颗粒状鈾試样的蠕变速度产生猛烈增加的現象^[13]。可見 α -鈾的均匀内聚性温度是在 300—350° 范围内。

B. 导热性

鈾的导热性是用相对定值法在 100—500° 的温度范围内求得。研究的結果証明，按各种工艺制作的試样的导热性，根本沒有什么不同，图 11 中列举有片状鈾、 γ -区鑄成的鈾和粉末热压的鈾之导热性。密度为 18.7 克/厘米³金属陶制鈾的导热性实际上符合于用別种方法获得鈾的数据，而密度为 18.0 和 18.13 克/厘米³的試样导热性显然要低一些。

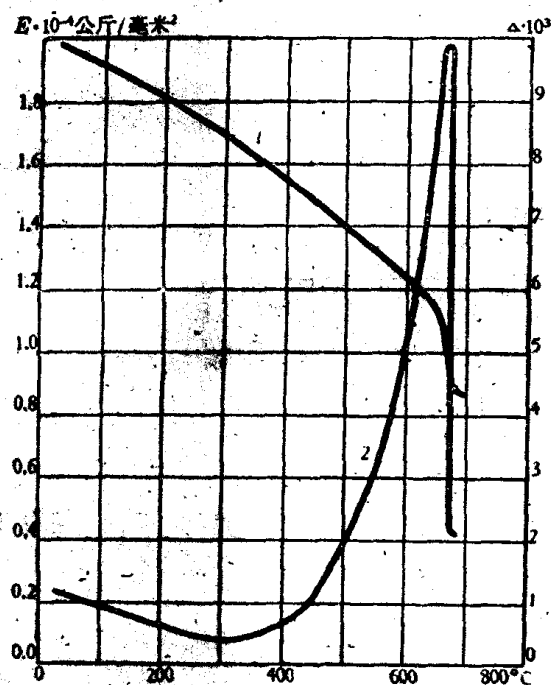


图 10 鈾的标准弹性模数(曲綫1)和內摩擦(曲綫2)与溫度的关系

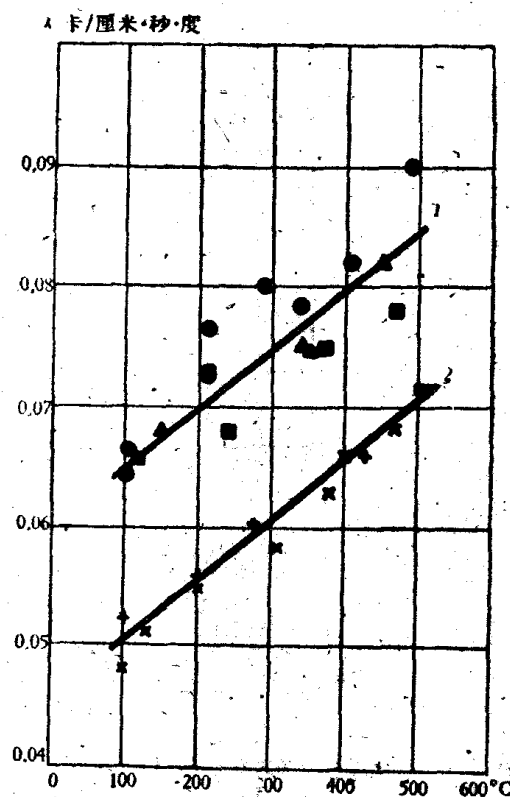


图 11 α -鈾的导热性与溫度的关系：1. ●——鑄造的(U重99.78%); ▲——740°在水中淬火(重99.66%U); ■——用热压取得的金属陶制鈾，密度为 18.7 (重 99.9%U)。2. +——用热压取得的金属陶制鈾密度为 18.13 (重 99.6%U, 氧重 0.3%)。×——用热压法取得的金属陶制鈾密度为 18.0 (U重 99.9%)。

IV. 含鉻的鉻合金的結構和物理性質

a. 鉻鉻的状态图

对鉻鉻系統的研究曾写过不少的著作，鉻鉻的相态图最初由蒲菲勒发表^[14]。这一图表基本上正确地反映出高热区的性质和界线。而在这个图上却沒有与低温有关的区域。后来，許多工作者研究了这类合金 γ -相在經受低温变化时的性质^[15,16,17]，然而，这些著作中的[15,16]所介紹的状态图在 γ -相蜕变 (распад) 性质方面本身之間有着本质的区别。

图 12 引証有本报告作者所获得的鉻鉻状态图。

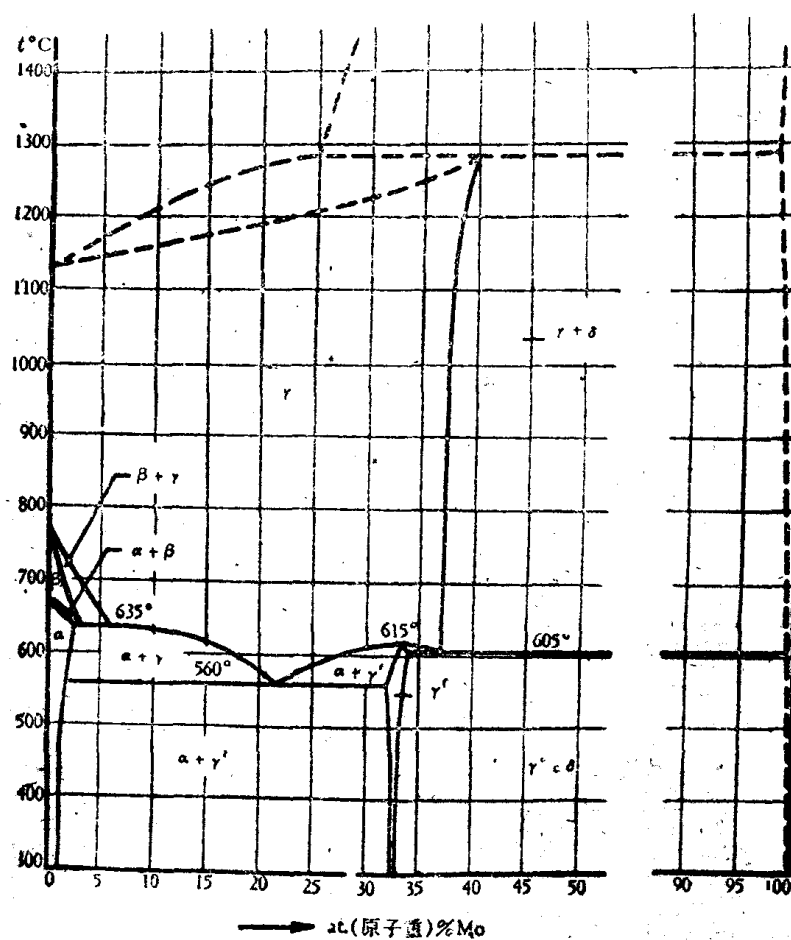


图 12 钼-钨相态图

规定 γ -相中的钼的最大浓度在 900°C 时大約为 37 at.% (原子量)。这时, 在室温下 γ -相晶格間距的数值变化与钼的含量有关, 并且适应于方程式。

$$a = 3.481 - 0.00333C(\text{\AA})$$

式中 C —钼的浓度 at%。

β -钨中钼的最大浓度为 3 at.% (温度在 635°C 时)。

一定量的钼(不到 2.4 at.%)能溶于 α -相钨中, 图 13 中載有 α -钨晶格間距 (период решетки) 与合金中钼含量的关系。钼的溶解会显著地引起轴向 b 的間距的縮短, 而此时轴向 a, c 的变化却比較小。这种变化与上述的溶有钚的 α -相钨中晶格間距的变化相类似。

在 560°C 时, γ -相經受共析体的蛻变 (эвтектоидный распад) $\gamma \rightarrow \alpha + \gamma'$ (U_2Mo)。共析点浓度符合于钼的 $\sim 21.6\%$ (原子重)。

U_2Mo 相态具有 Cr_2Al 型的結構, 其四角形晶格間距为 $a = 3.420 \text{\AA}$, $c = 9.859 \text{\AA}$ 。这一相的主要格子孔是按高度构成的 γ -钨的格子孔。 γ' -相晶格中原子的位置符合于钨和钼原子調整后的位置。每四层钨原子有二层钼原子。原子的座标如下:

2Mo: 000; $1/2, 1/2, 1/2$.

4U: 00Z; 00 \bar{Z} ; $1/2, 1/2, 1/2 + Z$; $1/2, 1/2, 1/2 - Z$.

晶格内参数 $Z = 0.329 \pm 0.002$, 关于 γ' -相结构的类似数据是由赫尔特曼 (Хэлтман) 获得的^[18]。

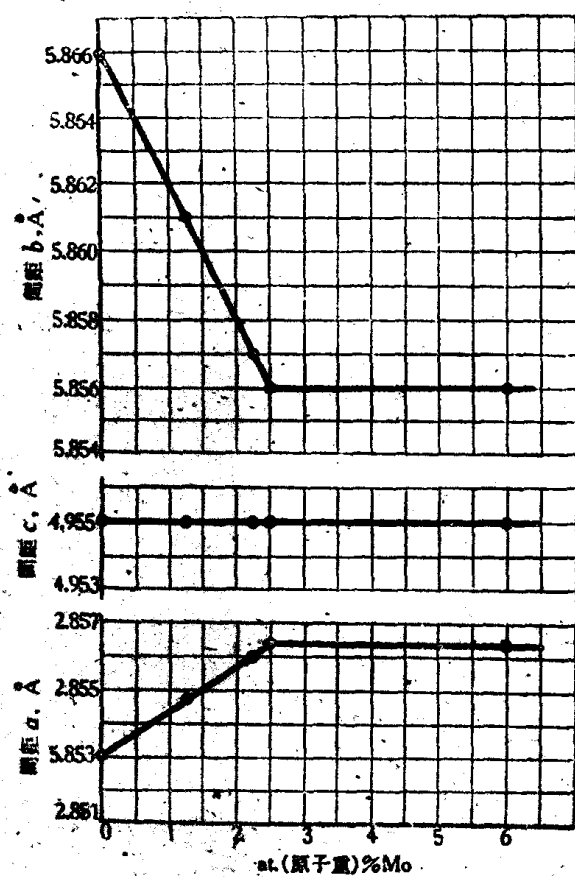


图 13 α 相的晶格间距与钼在其中溶量的变化关系

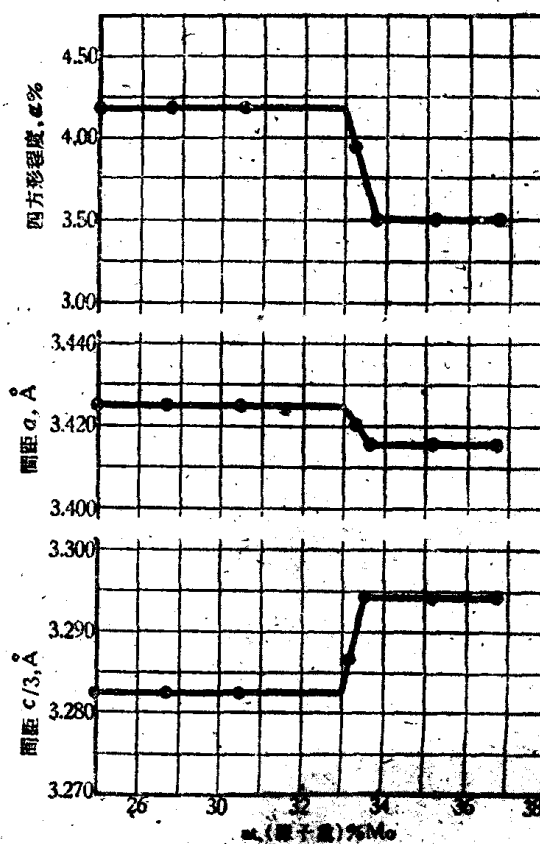


图 14 晶格间距 a , $c/3$ 和 $a = \frac{a-c/3}{a}$ 值依据于钼的浓度变化关系

U_2Mo 相在状态图上有比較不大的均质区。过多地加入钼的含量以致偏差于用化学計算的組成, 这就会大大破坏結構的調整作用, 因此晶格接近于立方面形体。如果 γ' -相晶格与 γ -相立方面形结构的偏差程度以 $\alpha = \frac{a-c/3}{a}$ 来表示, 那么由于上述变化将使 α 值減小(图 14), 調整性遭到破坏的过程同时也产生温度的升高, 在 $560-575^\circ$ 以上(图 15)。温度在 615° 时, 調整性破坏的过程完全停止。

6. 在含有钼的铀合金中 γ -相的結構

这项研究工作是用含钼(重 9%)的铀合金薄片(箔)进行。这一薄片是用冷軋的方法获得, 其压缩率为 97.6%, 研究的結果确定了极的图形 (полюсная фигура) 見图 16。相应的理想定向見表 7。

γ -相结构在含钼(重 9%)的铀合金中基本上同于冷軋 α -鐵的結構。

表 7 含钼的铀合金冷軋薄片中的 γ -相晶体方位

方位序号	定向明显程度	与擴延面一致的平面	与擴延方向一致的方向	与擴延方向成垂直的方向
1	强	(001)	[110]	[110]
2	强	(112)	[110]	[111]
3	弱	(111)	[112]	[110]

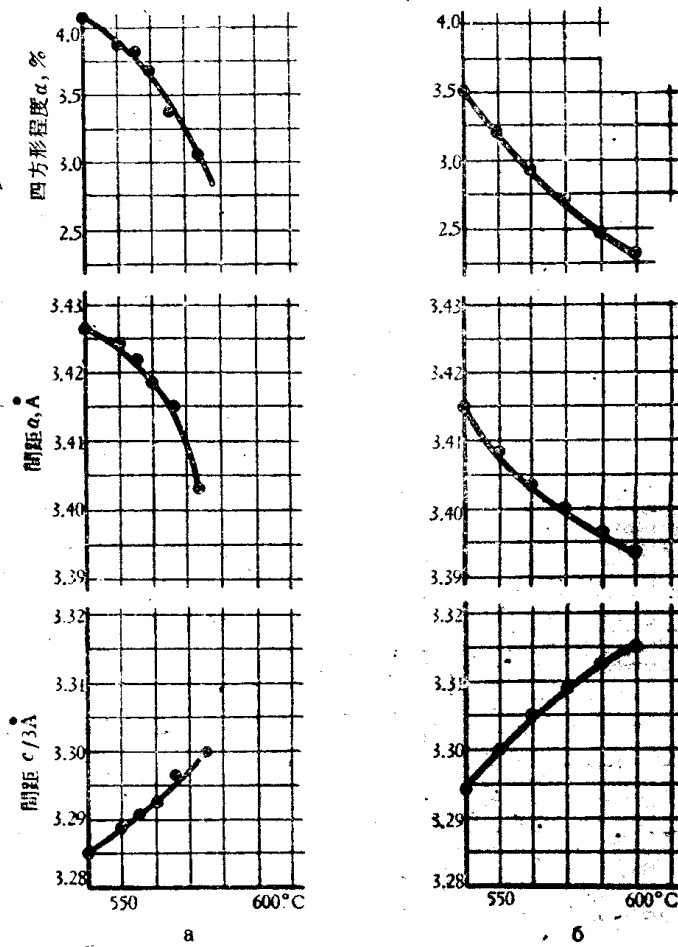


图 15 晶格 a 与 $c/3$ 和 $\frac{a - c/3}{a}$ 值依据于温度的变化关系
 a) 含钼(重14%)的钨合金; b) 含钼(重18%)的钨合金

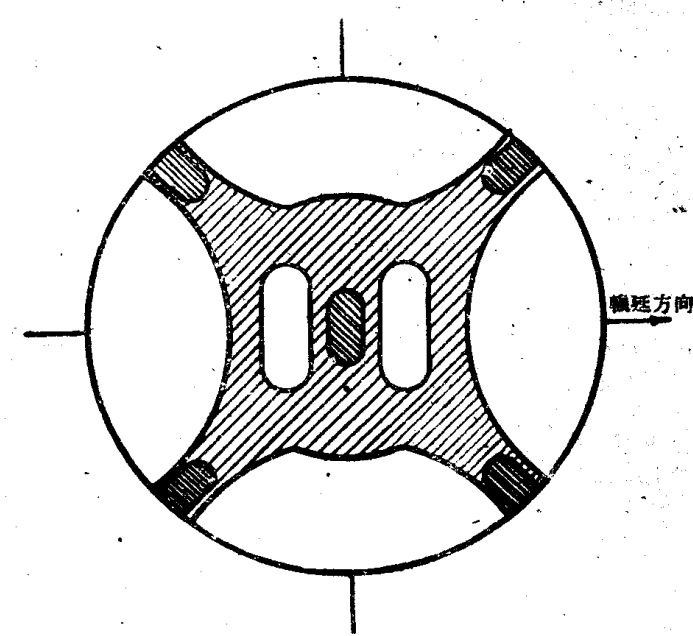


图 16 含钼(9%)的钨合金冷轧片的磁极形(001)

B. γ -相衰变时含钼的铀合金中结晶图形的定向

为了确定与原 γ -相有关的铀 α -相和 U_2Mo 相的结晶图形的定相，在带有9%重量的钼并具有上述结构的合金薄片，在其共析体分解的情况下以500°C进行淬火，历时50小时，用X-射线研究了共析体分解的产物，发现这些产物同样具有良好的定向，以描形投影法表明了它们的定向与 γ -相晶体的原定相的相互关系。分析了在铀 α 相和 γ 相的相应原子面和在 U_2Mo 中的原子排列，从而能够确定共析体分解 $\gamma \rightarrow \alpha + U_2Mo$ 过程中结合原子面的性质。结合原子面的选择是考虑到当旧相与新相的结合表面具有最相同的原子排列时，最小的表面能量形成。在共析体分解情况下，确定了下列相的相互之间的定向关系：

I. γ -相和 U_2Mo 的相互定向

$$(001)U_2Mo \parallel (001)\gamma; \quad (100)U_2Mo \parallel (100)\gamma.$$

II. 铼的 γ 相与 α 相的相互的定向

$$(010)\alpha \parallel (112)\gamma \text{ 或 } (110)\alpha \parallel (112)\gamma;$$

$$[100]\alpha \parallel [111]\gamma \quad [012]\alpha \parallel [111]\gamma.$$

从上述数据中可看出， U_2Mo 相保持着 γ -相最初结晶方位。这一种相的产生是因为再分配了原始晶格中的原子，并且在浓度符合 U_2Mo 成份的那些晶格中调整了他们的位置。

C. 含钼量 0.6% 的铀合金中相变的结晶图

含有 0.6% 重量钼的铀合金中在 $\alpha \rightleftharpoons \beta$ 平衡相转变条件下的相互定向是用冷轧薄片来确定的，该薄片具有 α -铀一般的结构。这薄片经 670°C 的淬火处理。同时，在这温度下大约一分钟的时间就能阻止 β -相颗粒的增长。用这种方法所确定的 β -相状态同样具有优越的结晶定向，与 α -相的最初结构作比较，正与上述情况相同，并可确立 α -铀和 β -铀结晶的相互定向：

$$(100)\alpha \parallel (001)\beta; \quad [012]\alpha \parallel [110]\beta.$$

对于低温下过冷的 β -相铀马丁体，转变为含钼的铀合金中的 α -相的结晶图定向，所获得的数据不同于文献中所载的资料。这很可能与研究变化的温度范围的区别有关，与加料不纯影响有关。

D. 钼铀合金的某些物理性质。

对钼铀合金物理性质的研究是用不同含量的钼合金来进行的，以确定出它的弹性、导热性、热膨胀和其他等性质。

关于含钼量 9% 的合金，把它在物理性质上的某些数据来作为本报告的举例。

图 17 为这一合金的标准弹性模量与温度的关系。弹性模量是应用谐振法在经受 γ -相中的均质退火的试样和低于共析体温度进行退火的试样上确定的。这一合金 γ -相标准弹性模量大大低于 α -纯铀的标准弹性模量。在连续退火至共析线以下时，合金的弹性模量会因为 γ -相衰变而增加；而 γ -相蜕变又引起了 α -相颗粒的补成。

图 18 的曲线表明含钼（重 9%）合金的导热性与温度的变化关系。这一图上还载有 C. T. 库普伯也夫斯基等人的关于导电性与温度关系的数据，以及劳伦茨按这些实验数据所计算出的数字。从这一图中可看出，对于这一合金得出了一条魏德曼-佛兰茨定律，在温度间隔的研究中，劳伦茨数的变化是相当小的。

含钼（重 9%）合金的热膨胀系数在 20—500° 的范围内，根据下式变化：

$$\alpha = 11.6 \times 10^{-6} + 0.28 \times 10^{-8}T,$$

式中 T ——温度 $^{\circ}\text{C}$.

热膨胀系数平均值在20—300 $^{\circ}$ 和20—500 $^{\circ}$ 相应地等于 12.0×10^{-6} 和 12.3×10^{-6} .

$E \cdot 10^4$ 公斤/毫米 2

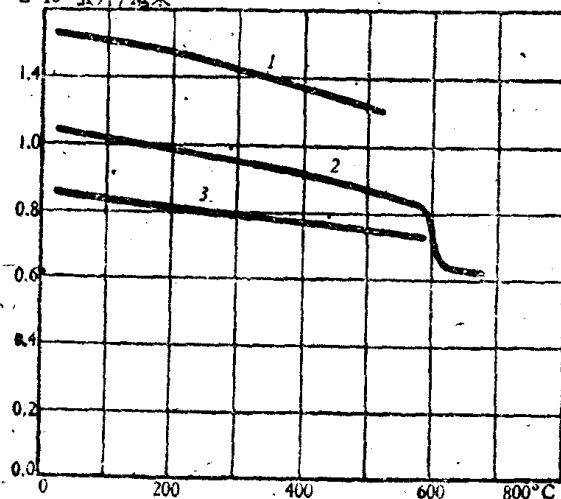


图 17 含钼(9%重)的奥合金的标准弹性模量与温度的关系

- 1——在500°时退火后历经100小时;
- 2——在520°退火后历经11小时;
- 3——在γ相退火后

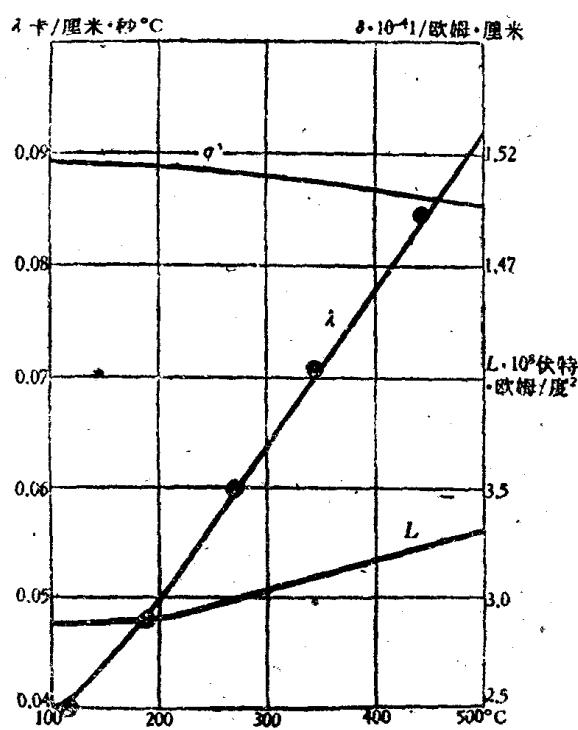


图 18 含重量 9% 钼的钼合金(在900°C时历时5小时的退火) γ-相导热性与温度的关系图上同样也表明导电性与温度(20)的变化关系和按这些数据所求出的劳伦系数

参考文献

- [1] Goffinberry E. Progr. in Nuclear Energy, V, 1. Metallurgy and Fuels. 1956.
- [2] Bagley K. Q. Nucl. Engng., 2, 461—468 (1957).
- [3] Конобеевский С. Т. "Диаграммы состояния некоторых систем на основе плутония". Доклад на сессии АН СССР по мирному использованию атомной энергии. Заседание отделения химических наук. Москва (1955) (стр. 362).
- [4] Dawson J. K. Journ. Chem. Soc., Oct., 3393 (1954).
- [5] Bats L., Hughes D. Proc. Phys. Soc., B67, 28—38 (1954).
- [6] Дорфман Я. Г. Магнитные свойства и строение вещества. Москва, (1955) (стр. 326).
- [7] Bats L. Proc. Phys. Soc., B69, 997 (1956).
- [8] Данные Кауфмана и Гордона взяты из работы Бейтса. (Bats L., Hughes D. Proc. Phys. Soc., B67, 28—38 (1954)).
- [9] Фут. Доклад: "Физическая металлургия урана". Доклады иностранных ученых на Женевской конференции по мирному использованию атомной энергии "Металлургия ядерной энергетики и действие облучения на материалы". Москва (1956), (стр. 89—175).
- [10] Nichols R. W. Nucl. Engng., 2, 355 (1957).
- [11] Bridge J., Schwartz C. M., Vaughan D. Journ. of Met., 8, 1282—1285 (1956).
- [12] Jacob C. W., Warren B. E. Journ. Am. Chem. Soc. 59, 2588 (1937).
- [13] Сергеев Г. Я., Титова В. В., Николаева З. П., Каптельцев А. М., Колобнева Л. И. "Влияние технологии изготовления на структуру и свойства урана". Доклад, представленный на Вторую конференцию по мирному использованию атомной энергии. (1958).
- [14] Pfeil P. C. L. Journ. Inst. of Met., 77, 553—570 (1950).
- [15] Tucker C. W. Journ. Inst. of Met., 78, 760—762 (1951).
- [16] Селлер Г. Уран и его сплавы. Ядерные реакторы т. ш. Материалы для ядерных реакторов, Москва (1957) (стр. 278).
- [17] См. например, статью Bleiberg M. L., Jones L. J., Lustman B. Journ. Appl. Phys., 27, 1270 (1956).
- [18] Haltman E. K. Acta Cryst., 10, 166 (1957).
- [19] Butcher B. R. Nature, N4383, 817 (1953).
- [20] Конобеевский С. Т., Правдюк Н. Ф., Дубровин К. П., Левитский Б. М., Пантелеев Л. Д., Голянов В. М., Атомная энергия 4, 33—43 (1958).